

Е.О. Джетыбаев, Т.З. Мулдашев, И.В. Мишин

РАСЧЕТ ОПТИЧЕСКИХ ПЕРЕДАТОЧНЫХ ФУНКЦИЙ АТМОСФЕРЫ

Сравниваются данные численных расчётов оптических передаточных функций атмосферы, полученные методами сферических гармоник, Монте-Карло, функции источников и итераций. Расчёты выполнены с использованием моделей реальной атмосферы.

Введение

Оптические передаточные функции атмосферы, определяемые расчетным путем из решений краевых задач теории переноса излучения, используются при имитационном моделировании полей яркости уходящего коротковолнового излучения и атмосферной коррекции данных дистанционного зондирования подстилающих поверхностей. Методам их вычисления посвящено много работ ([1–9]), но отсутствие единого фонда соответствующих тестированных вычислительных алгоритмов создает для пользователей трудности, связанные с поиском и усвоением надежных алгоритмов и программ. В связи с этим сохраняет актуальность проверка точности и быстродействия различных вычислительных алгоритмов на основе согласованных сравнительных тестов.

Сравнения некоторых алгоритмов расчета характеристик переноса излучения в плоских слоях, моделирующих атмосферу, облака и туманы, выполнены в [2–4]. В [8] представлены результаты сравнения значений оптических передаточных функций безоблачной трехмерной атмосферы, полученных методами сферических гармоник, Монте-Карло и функции источников. В [9] аналогичные расчеты выполнены методом итераций. В [8, 9] были использованы оптические модели атмосферы [10, 11]. Настоящая статья содержит более общие сравнения значений оптических передаточных функций на основе извлечений численных материалов из [8, 9]. Основная цель статьи состоит в том, чтобы привлечь внимание разработчиков к тестированию численных методов теории переноса излучения для оптических моделей реальной атмосферы. Сравнение различных вычислительных программ необходимо для их классификации по точности и быстродействию.

Оптические модели.

Были взяты две оптические модели атмосферы: модель I [9] на длинах волн 0,55 и 0,75 мкм и модель II [10] на длинах волн 0,3471; 0,6943; 1,06 мкм. Особенность модели I состоит в следующем: слой атмосферы (высотой $h = 50$ км) разбит на 50 подслоев, значения $\alpha(z)$, $\sigma(z)$ заданы на границах подслоев; индикатриса рассеяния $f(\cos\gamma)$ постоянна по высоте, значения $f(\cos\gamma)$ даны с шагом 5° , а в области сильного изменения через 1° ; в точках $\gamma = 1, 2, 3, 4^\circ$ значения $f(\cos\gamma)$ получены интерполяцией [7] табличных данных [9]. Особенность модели II: слой атмосферы ($h = 30$ км) разбит на 35 подслоев; значения $\alpha(z)$, $\sigma(z)$ заданы на границах подслоев; по отношению к закону рассеяния атмосфера является трехслойной, значения $f^{(i)}(\cos\gamma)$, $i = 1, 2, 3$, даны на более частой сетке, чем в модели I; в передней части индикатрисы разбивка идет через 2° , поскольку индикатрисы $f^{(i)}(\cos\gamma)$ менее вытянуты, чем в модели I; молекулярное рассеяние $f_R(\cos\gamma) = \frac{3}{16\pi}(1 + \cos^2\gamma)$ учитывалось только в случае $\lambda = 0,3471$ мкм, при этом суммарные индикатрисы вычислялись по формуле $f^{(i)}\cos\gamma = c_a^{(i)}f_a^{(i)}(\cos\gamma) + c_R^{(i)}f_R(\cos\gamma)$, $w = 1, 2, 3$, где $c_a^{(i)} = \tau_a^{(i)} / \tau_0^{(i)}$; $c_R^{(i)} = \tau_R^{(i)} / \tau_0^{(i)}$; $\tau_0^{(i)} = \tau_a^{(i)} + \tau_R^{(i)}$; $\tau_a^{(i)}, \tau_R^{(i)}$ — аэрозольная и рэлеевская оптические толщины в i -м слое.

Модель переноса излучения определялась краевой задачей в трехмерной несферической атмосфере, ограниченной поверхностью с неоднородным альбедо:

$$\begin{cases} (\mathbf{s}, \nabla I) + \alpha(z) I = \frac{\sigma(z)}{4\pi} \int_{\Omega} I(z, \mathbf{r}, \mathbf{s}') f(z, \cos\gamma) d\mathbf{s}'; \\ I|_{z=0, \mathbf{s} \in \Omega_+} = \pi S_k \hat{\mathbf{e}}(\mathbf{s} - \mathbf{s}_0); \\ I|_{z=h, \mathbf{s} \in \Omega_-} = \frac{q(\mathbf{r})}{\pi} \int_{\Omega_+} I(h, \mathbf{r}, \mathbf{s}') \mu' d\mathbf{s}', \end{cases} \quad (1)$$

где $I \equiv I(z, \mathbf{r}, s) \equiv I_\lambda(z, x, y, \theta, \phi)$ — спектральная яркость излучения; $\mathbf{r} = \{x, y\}$ — вектор горизонтальных координат; $\mathbf{s} = \{\mu, \mathbf{s}_\perp\}$ — единичный вектор; $\mu = \cos\theta$; $\mathbf{s}_\perp = \sqrt{1-\mu^2}\{\cos\phi, \sin\phi\}$; θ, ϕ — зенитный и азимутальный углы распространения излучения; $s_0 = \{\zeta, \sqrt{1-\zeta^2}, 0\}$ — направление падения солнечных лучей; $\zeta = \cos\theta_0$; θ_0 — зенитный угол Солнца; Ω_-, Ω_+ — верхняя и нижняя полусфера; πS_λ — солнечная постоянная, $\text{Вт}/(\text{мкм} \cdot \text{см}^2 \cdot \text{ст})$; $q(\mathbf{r})$ — альбено поверхности; $\alpha(z)$ — коэффициент ослабления; $\sigma(z)$ — объемный коэффициент рассеяния; z — вертикальная координата; h — толщина атмосферы; $f(z, \cos\gamma)$ индикаторика рассеяния; $\cos\gamma = \mathbf{s} \cdot \mathbf{s}'$; \mathbf{s}, \mathbf{s}' — направление рассеянного и падающего лучей.

Решение краевой задачи (1) с точностью до нелинейной составляющей относительно вариации $\tilde{q}(\mathbf{r})$ для направлений $\mathbf{s} \in \Omega$ имеет вид [6]

$$I = D + \frac{\bar{q}E\Psi_0}{1 - \bar{q}c_0} + \frac{E}{1 - \bar{q}c_0} \cdot \frac{1}{(2\pi)^2} \int_{-\infty}^{\infty} \frac{\hat{\Psi}(z, \mathbf{p}, \mathbf{s}) \tilde{q}(\mathbf{p}) e^{-i(\mathbf{p}, \mathbf{r})}}{1 - \bar{q}C(\mathbf{p})} d\mathbf{p}, \quad (2)$$

где $D \equiv D(z, \mu, \zeta, \phi)$ — яркость атмосферной дымки; $\pi E = \pi \left[\frac{1}{\pi} \int_0^{2\pi} \int_0^1 D(h, \mu, \zeta, \phi) \mu d\mu d\phi + \zeta S_\lambda e^{-\tau_0/\zeta} \right]$ — освещенность земной поверхности при $\bar{q}=0$, усредненная по горизонтальным координатам; $\Psi(z, \mathbf{p}, \mathbf{s}) = e^{i(\mathbf{p}, \tilde{\mathbf{r}})} [e^{-\tau_0/\eta} + A e^{i\Phi}]$ — оптическая пространственно-частотная характеристика атмосферы; $\Psi_0 = e^{-\tau_0/\eta} + A_0$; $c_0 = 2 \int_0^1 \Psi_0(h, \mu) \mu d\mu$ — сферическое альбено; $\eta = |\mu| = \cos\Theta'$; $\Theta' = \pi - \Theta$; $A \equiv A(z, \mathbf{p}, \mathbf{s})$, $\Phi \equiv \Phi(z, \mathbf{p}, \mathbf{s})$ — амплитудная и фазовая характеристики атмосферы как фильтра пространственных частот изображения; $\mathbf{p} = \{p_x, p_y\}$ — вектор пространственных частот; $A_0 \equiv A_0(z, \mu) = A(z, \mathbf{p}, \mathbf{s})|_{\mathbf{p}=0}$ — норма амплитудной характеристики атмосферы; $\bar{q}, \tilde{q}(\mathbf{p})$ — среднее и Фурье-спектр вариации альбено подстилающей поверхности $C \equiv c(\mathbf{p}) = \frac{1}{\pi} \int_{\Omega_+} \Psi(h, \mathbf{p}, \mathbf{s}) \mu ds$, $\tilde{\mathbf{r}} = \mathbf{s}_\perp h / \eta$ — вектор смещения.

Оптические передаточные функции $D, E, A_0, c_0, A, \Phi, C$, определяющие действие передаточного оператора атмосферы, естественно использовать как объекты для тестовых расчетов. Заметим, что при известных A, Φ функция размытия точки $v(\mathbf{r}) = \frac{1}{(2\pi)^2} \int_{-\infty}^{\infty} A e^{i\theta - i(\mathbf{r}, \mathbf{p})} d\mathbf{p}$ вычисляется в общем случае методом быстрого преобразования Фурье.

Численные методы и результаты расчетов

Из литературных источников известно, что $D, E, A_0, c_0, A, \Phi, C$ вычислялись методом итераций [5, 9] и методом сферических гармоник [9, 12, 13]. Методом Монте-Карло [1] кроме независящих от \mathbf{p} величин D, E, A_0, c_0 вычислялась только функция A [14, 15]. Функция D, E, A_0, c_0, A вычислялись также приближенным методом [6, 16].

Погрешность методов Монте-Карло (ММК) и итераций (МИ) определяется количеством моделируемых траекторий фотонов и выбором разностной схемы соответственно. Погрешность методов сферических гармоник (МСГ) и функции источника (МФИ) зависит от порядка P_{2N+1} — приближения. Обычно число N определяется на этапе разложения индикаторики рассеяния по полиномам Лежандра. Реальная погрешность расчетов может быть выше методической погрешности, так как зависит от тех или иных стандартных вычислительных процедур. В настоящей работе применялись ММК [1, 17], МСГ [12, 13] и МФИ на базе P_1 — приближения (МФИ₁) [6, 16]. Последний метод наиболее грубый и вызывает интерес лишь в связи с простотой реализации в системах оперативной обработки информации.

В нижеследующих сравнениях за эталонные будем принимать расчеты ММК и МИ [9]. В алгоритме ММК при моделировании траектории фотона используется оценка по направлению. Первые два столкновения производятся без вылета из среды и поглощения; соответствующее смещение учитывается весовыми коэффициентами. Прямое моделирование траектории вводится с третьего столкновения. Дисперсия ошибки ММК при расчете D, E, A_0, c_0 составила в среднем 1%. Относительная погрешность МИ в расчетах [9] также составляет в среднем приблизительно 1%. Точность остальных алгоритмов оценивалась практически путем сравнения численных результатов. В табл. 1 показано, какие оптические характеристики позволяет получить каждая из соответствующих программ.

Таблица 1

Возможности вычислительных программ

Метод	Оптические передаточные функции					
	D	E	A ₀	c ₀	A	Φ
МСГ	+	+	+	+	+	+
МФИ _I	+	+	+	+	+	-
ММК	+	+	+	+	-	-

Функции A, Φ с помощью ММК не вычислялись. Вычисления МФИ_I функции Φ характеризуются невысокой точностью и не дают физически объяснимые зависимости Φ = Φ(p).

Во всех алгоритмах интенсивность однократного рассеяния вычисляется аналитически. В программах МСГ и ММК применялась кусочно-постоянная аппроксимация коэффициентов α(z), σ(z). При реализации МФИ_I истинное поглощение не учитывалось; при вычислении A высотная зависимость σ(z) аппроксимировалась экспонентой, а индикаторика трехслойной атмосферы — функцией $f(\cos\gamma) = \sum_{i=1}^3 \tau_0^{(i)} f^{(i)}(\cos\gamma) / \tau_0$. Время расчета одного варианта, включающего вычисление E и c₀, а

также угловых зависимостей D, A₀ при двух значениях φ и фиксированном Θ₀, по программам ММК, МСГ и МФИ_I, на ЕС-1045 составило 10 мин, 2 мин и 30 с соответственно.

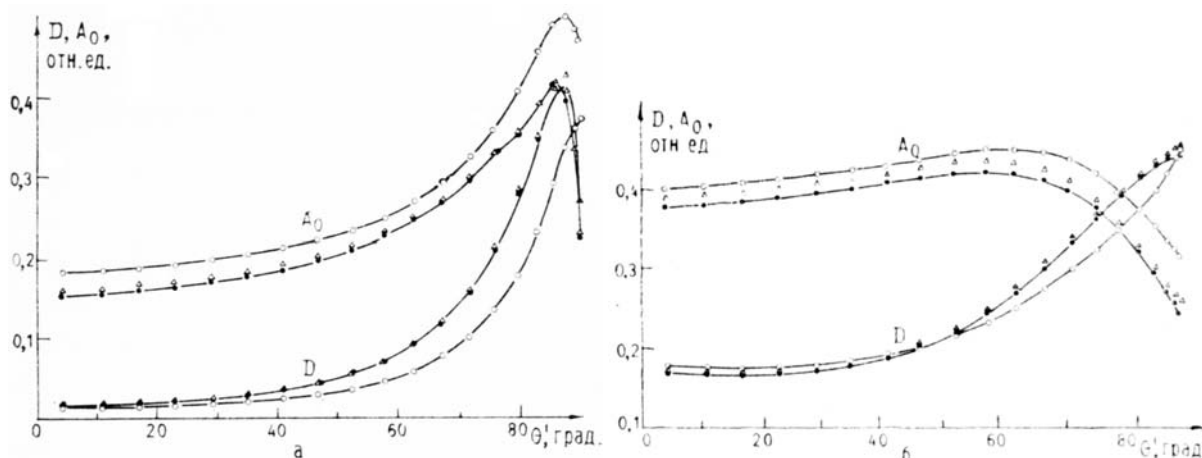


Рис. 1. Угловые зависимости D и A₀ по модели I (a) и модели II (б) для θ₀ = 45°, φ = 0°: точки — МСГ; кружки — МФИ_I, треугольники — МИ

Расчеты передаточных функций для указанных выше оптических моделей атмосферы проводились с точностью до S_λ. Значения входных параметров принимались следующими: z = 0, φ = 0 и 180°, Θ₀ = 0 и 45°. На рис. 1 представлены угловые зависимости D, A₀ для случаев λ = 0,75 мкм (модель I) и λ = 0,3471 мкм (модель II). В табл. 2 даны соответствующие значения E, c₀. На рис. 2, 3 представлены нормированная амплитудная A/A₀ и фазовая Φ характеристики для λ = 0,3471 мкм. Для сравнения на рис. 1–3 и в табл. 2 приведены также данные расчетов МИ [9].

Таблица 2

Значения оптических передаточных функций, полученные различными методами

Метод	λ = 0,75 мкм		λ = 0,3471 мкм	
	E	c ₀	E	c ₀
МИ	0,6530	0,1036	0,4406	0,3598
МСГ	0,6491	0,1049	0,4348	0,3563
МФИ _I	0,6670	0,0865	0,4518	0,3839

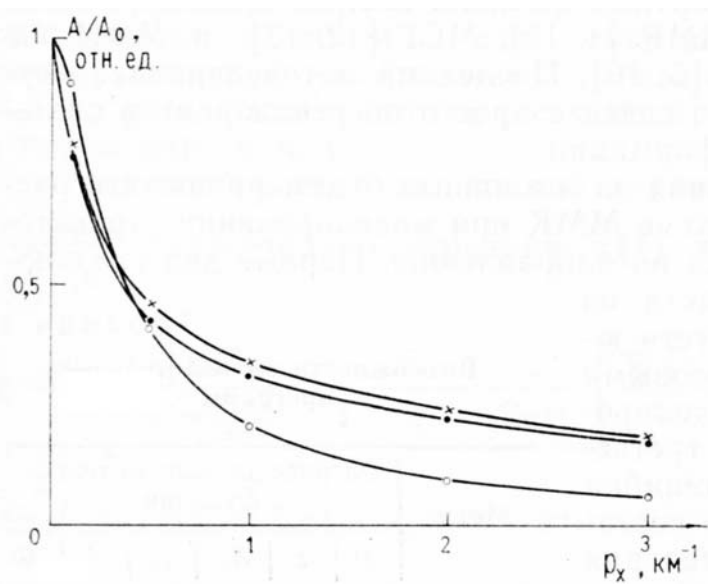


Рис. 2. Нормированная амплитудно-частотная характеристика A/A_0 по модели II для $\eta = 0,997$, $\phi = 0^\circ$, $p_y = 0$: точки — МСГ; кружки — МФИ₁; крестики — МИ

Выполненные расчеты показали, что значения D , E , A_0 , c_0 , полученные МСГ и ММК, практически совпадают. Поэтому полученные ММК расчетные значения этих величин на рис. 1 и в табл. 2 не приводятся. Как видно из рис. 1–3, данные МСГ хорошо согласуются с данными МИ [9]. При совпадении расчетов МСГ (точки) и МИ (треугольники), последние на графики не наносились. Несмотря на хорошее согласие расчетов МСГ и МИ функции Φ , необходимо сделать следующее замечание. На рис. 3 функция $\Phi = \Phi(p_x)$ имеет немонотонную производную. Если принять естественное предположение о монотонности $d\Phi/dp_x$, то следует сделать вывод о том, что ошибки данных расчетов Φ с помощью МСГ и МИ превышают 1%. Такой вывод следует и из численных экспериментов, показывающих, что Φ более чувствительна к погрешностям вычислений, чем A .

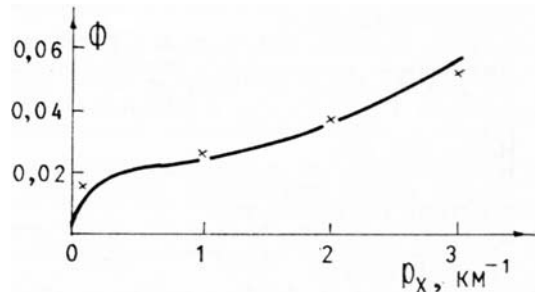


Рис. 3. Фазовая характеристика по модели II для $\eta = 0,997$, $\phi = 180^\circ$, $p_y = 0$: сплошная линия — МСГ; крестики — МИ

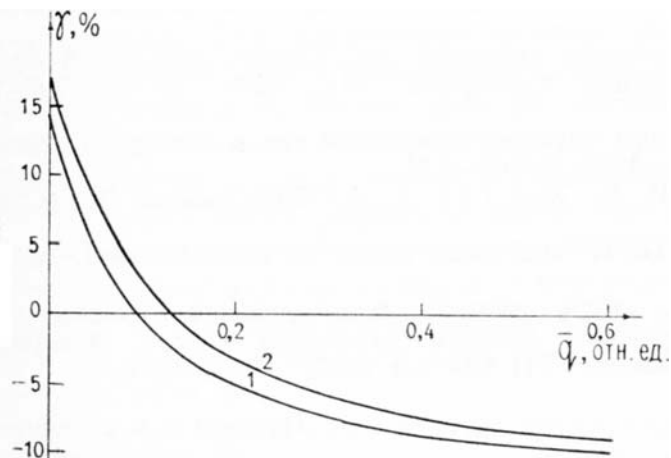


Рис. 4. Относительная погрешность МФИ₁ в зависимости от среднего альбедо подстилающей поверхности по модели I для $\lambda = 0,55$ мкм, $\theta_0 = 45^\circ$, $\phi = 0^\circ$: 1 — $\eta = 0,997$; 2 — $\eta = 0,818$

Погрешность МФИ₁ является заметной функцией оптических характеристик атмосферы и геометрии наблюдения. Наименее точно вычисляется яркость атмосферной дымки D при $\Theta' > 30^\circ$ и амплитудная характеристика A при $|p| > 0,5 \text{ км}^{-1}$. На рис. 4 приведена относительная ошибка расчета средней яркости уходящего излучения ($\gamma = [(\bar{I}_{\text{МСГ}} - \bar{I}_{\text{МФИ}_1}) / \bar{I}_{\text{МСГ}}] \cdot 100\%$) в зависимости от среднего альбедо подстилающей поверхности. Нетрудно видеть, что ошибка МФИ₁ для углов наблюдения $\Theta' \leq 30^\circ$ и альбедо $\bar{q} \leq 0,05$ в случаях, показанных на рис. 4, не превышает 10%. Аналогичная оценка получается и для других λ .

Заключение

В статье представлены результаты тестирования вычислительных алгоритмов решения задачи переноса излучения в атмосфере. В качестве тестовых взяты функции, определяющие действие оптического передаточного оператора атмосферы. Расчеты оптических передаточных функций атмосферы методами Монте-Карло, сферических гармоник и функции источников на базе P_1 -приближения показали качественное совпадение результатов. Сравнение результатов расчетов показало, что при вычислении D , E , A_0 , c_0 , A , Φ метод сферических гармоник [12, 13] не уступает по точности методам Монте-Карло [17] и итераций [9], обладая существенно большим быстродействием. Приближенный МФИ₁ пригоден для расчетов яркости поля излучения с ошибкой $\lesssim 10\%$, если $\Theta' \leq 30^\circ$ и $\bar{q} \geq 0,05$.

1. Марчук Г. И., Михайлов Г. А., Назаралиев М. А. Метод Монте-Карло в атмосферной оптике. Новосибирск: Наука, 1976. 280 с.
2. Standard procedure to compute atmospheric radiative transfer in a scattering atmosphere /edited by J. Lenoble. Boulder, Colorado: NCAR, 1977. V. 1. 124 p.
3. Бирюков Ю. Л., Крылов Ю. В. //Изв. АН СССР. Сер. ФАО. 1974. Т. 10. № 11. С. 1231–1235.
4. Кагр А. Н./JQSRT. 1981. V. 25. № 5. Р. 403–412.
5. Численное решение задач атмосферной оптики /Под ред. М.В. Масленникова, Т.А. Сушкевич. М.: ИПМ им. М.В. Келдыша АН СССР, 1984. 234 с.
6. Креков Г. М., Орлов В. М., Белов В. В. и др. Имитационное моделирование в задачах оптического дистанционного зондирования. Новосибирск: Наука, 1988. 165 с.
7. Назаралиев М. А. Численное моделирование радиационных полей в атмосфере методом Монте-Карло: Автореф. д-ра физ.-мат. наук. Новосибирск: ВЦ СО АН СССР, 1985. 30 с.
8. Джетыбаев Е. О., Мишин И. В., Мулдашев Т. З. и др. Расчет оптических передаточных характеристик атмосферы. М., 1989. 55 с. (Препринт/ИКИ АН СССР, № 1475).
9. Иолтуховский А. А., Стрелков С. А., Сушкевич Т. А. Тестовые модели численного решения уравнения переноса. М., 1988. 25 с. (Ирепринт/ИПМ им. М.В. Келдыша АН СССР, № 150).
10. Elterman L. UV, visible and IR attenuation for altitudes to 50 km/Report AFCRL-68-0153-Environ. Res. Papers, 1968. № 285. 60 р.
11. Креков Г. М., Рахимов Р. Ф. Оптико-локационная модель континентального аэрозоля. Новосибирск: Наука, 1982. 198 с.
12. Мулдашев Т. З., Султангазин У. М. //ЖВМ и МФ. Т. 26. № 6. С. 882–893.
13. Мулдашев Т. З. Метод сферических гармоник для расчета оптической пространственно-частотной характеристики атмосферы. М., 1987. 24 с. Деп. в ВИНТИ. № 1879-В87.
14. Карагин Б. А. Космические методы изучения природной среды Сибири и Дальнего Востока. Новосибирск: Наука, 1983. С. 169–174.
15. Золотухин В. Г., Мишин И. В., Усиков Д. А. //Исследование Земли из космоса. 1984. № 4. С. 14–22.
16. Мишин И. В., Тищенко А. П. //Исследование земли из космоса. 1981. № 1. С. 48–57.
17. Джетыбаев Е. О. Алгоритмы статистического моделирования в задаче дистанционного оптического зондирования системы атмосфера–океан. Автореф. дис. канд. физ.-мат. наук. Новосибирск: ВЦ СО АН СССР, 1983. 12 с.

Институт математики и механики АН КазССР,
Алма-Ата
Всесоюзный научно-технический информационный центр,
Москва

Поступила в редакцию
23 января 1989 г.

E. O. Dzhetibaev, T. Z. Muldashev, I. V. Mishin. Calculation of Optical Transfer Functions of the Atmosphere.

The calculational data on the atmospheric optical transfer functions have been obtained by spherical harmonics, Monte-Carlo, source functions and iteration methods are compared. The calculations have been carried out using atmospheric models.